

нескольких герц. Необходимо отметить, что есть еще ошибка, связанная с точностью расчета, однако она не принципиальная, так как точность расчетов можно всегда увеличить.

Физический институт

им. П.Н.Лебедева  
Академии наук СССР

Поступило в редакцию  
9 апреля 1966 г.

### Литература

- [1] M.S.Feld, J.H.Parks, H.R.Schlossberg, A.Javan. Physics of Quantum Electronics, 1966, стр.567.
- [2] В.Г.Веселаго, А.Н.Ораевский, Г.М.Страховский, В.М.Татаренков, Письма ЖЭТФ, 2, 77, 1965.
- [3] А.Н.Ораевский. Молекулярные генераторы, Изд. "Наука", М., 1964.

### О НИТЕВИДНОЙ СТРУКТУРЕ ПУЧКОВ СВЕТА В НЕЛИНЕЙНЫХ ЖИДКОСТЯХ

В.И.Беспалов, В.И.Таланов

1. Первые наблюдения нитевидной структуры света в жидкостях в результате самофокусировки [1-7] описаны Пилипецким и Рустамовым [4]. С этим же эффектом Бломберген и Лалеман [8] связывают аномально большие значения коэффициентов усиления в экспериментах по вынужденному комбинационному рассеянию <sup>1)</sup>. Однако приведенные в [8] (со ссылкой на Келли [6]) теоретические оценки длин самофокусировки <sup>2)</sup>, требуемых для образования нитей, по крайней мере, на порядок величины превышают экспериментально наблюдаемые величины. Расхождение объясняется тем, что Бломберген и Лалеман исходят из представления о самофокусировке пучка как целого, ограничившись замечанием о возможной роли в возникновении нитей мелкомасштабных колебаний интенсивности в падающем пучке.

Ниже дана теория образования нитей. Показано, что в нелинейной диэлектрике амплитудно-фазовые возмущения плоской электромагнитной

волны приводят к ее распаду <sup>3)</sup> на отдельные пучки, имеющие разные длины самофокусировки в зависимости от масштаба первоначального возмущения. При этом есть характерный, наиболее быстро фокусирующийся масштаб, определяемый коэффициентом нелинейности среды, интенсивностью и коэффициентом эллиптичности волны.

2. Зависимость от координат для медленно меняющейся амплитуды  $E_0(\bar{x}, \bar{y}, \bar{z})$  линейно поляризованной монохроматической волны  $E = E_0 e^{i(\omega t - k\bar{z})}$  в изотропном диэлектрике с проницаемостью  $\epsilon_H/\epsilon = 1 + \epsilon' |E|^2$  ( $k = \omega\sqrt{\epsilon}/c = 2\pi\sqrt{\epsilon}/\lambda_0$ ) описывается нелинейным уравнением поперечной диффузии [5,6]

$$\Delta_{\perp} \epsilon - 2i \frac{\partial \epsilon}{\partial z} + |\epsilon|^2 \epsilon = 0. \quad (I)$$

В (I) введены безразмерные величины  $\epsilon = \sqrt{\epsilon'} E_0 (\epsilon' > 0)$ ,  $(x, y, z) = k(\bar{x}, \bar{y}, \bar{z})$ .

О характере распада плоской волны можно судить по развитию ее малых возмущений. Полагая в (I)  $\epsilon = (\epsilon_0 + e) e^{i\Gamma z}$  ( $\Gamma = \epsilon_0^2/2$ ,  $\epsilon_0 = \text{const}$  - амплитуда невозмущенной волны,  $|e| \ll \epsilon_0$ ) и оставляя только члены первого порядка по  $e = e_1 + i e_2$ , получим:

$$\Delta_{\perp} e_1 + 2 \frac{\partial e_1}{\partial z} + 2\epsilon_0^2 e_1 = 0; \quad \Delta_{\perp} e_2 - 2 \frac{\partial e_2}{\partial z} = 0. \quad (2)$$

Для возмущений типа <sup>4)</sup>  $e_{1,2} = \text{Re } e_{1,2}^0 \exp(-i\alpha_{1,2} \vec{r} - i h z)$  найдем из (2) соотношения

$$h^2 = \frac{\alpha_{\perp}^2}{4} (\alpha_1^2 - \alpha_{zp}^2); \quad \alpha_{zp}^2 = 2\epsilon_0^2 = 16\pi\epsilon' P(\text{cn})^{-4} \equiv \alpha_{zp}^2, \quad (3)$$

где  $n = \sqrt{\epsilon'}$ ,  $P$  - плотность потока мощности в невозмущенной волне.

Возмущения с поперечными волновыми числами  $0 < \alpha_1 < \alpha_{zp}$  неустойчивы по  $z$  ( $h^2 = -\Gamma^2 < 0$ ), тогда как возмущения меньшего масштаба  $\alpha_1 > \alpha_{zp}$  - устойчивы ( $h^2 > 0$ ). Инкремент неустойчивых возмущений  $\Gamma = (2\epsilon_0^2 - \alpha_1^2)^{1/2} \alpha_1/2$  имеет наибольшую величину  $\Gamma_{\text{макс}} = \epsilon_0^2/2$  при  $\alpha_1 = \alpha_H = \epsilon_0$ , что соответствует характерным масштабам  $\Lambda_1 = \lambda/\alpha_H = \lambda/\epsilon_0$  и  $\Lambda_H = \Gamma_{\text{макс}}^{-1}$ , или в размерных переменных

$$\bar{\Lambda}_I = \lambda_0 c^{1/2} (32\pi n \epsilon' P)^{-1/2}; \quad \bar{\Lambda}_{II} = (k\Gamma_{\text{макс}})^{-1} = 4n\Lambda_1^2 (\pi\lambda_0)^{-1}. \quad (4)$$

Для достаточно больших (по интенсивности) возмущений падающего пучка величину  $\bar{\Lambda}_{II}$  можно принять в качестве характерного масштаба развития неустойчивости (возникновения светящейся нити). Оценка величин  $\bar{\Lambda}_I, \bar{\Lambda}_{II}$  для пучка диаметром 2 мм, мощностью 1 Мвт при  $\epsilon' = 10^{-11} \text{ эв. СГСЕ}$  (данные Келли [6]) дает значение  $\bar{\Lambda}_{II} = 9 \text{ см}$ , хорошо согласующееся с экспериментом [8], а характерный масштаб  $\bar{\Lambda}_I = 180 \text{ мк}$  естественно превышает наблюдаемые размеры нитей ( $20 + 80 \text{ мк}$ ) [8], определяемые дальнейшей самофокусировкой светящегося канала.

Мощность отдельной нити (оцениваемая как поток энергии через сечение площадью  $\pi\bar{\Lambda}_I/4$ ).

$$W_H \approx \pi\bar{\Lambda}_I^2 P/4 = c\lambda_0^2 (128n\epsilon')^{-1} \quad (5)$$

с точностью до коэффициента порядка единицы равна критической мощности стационарного пучка [3]. Так как мощность  $W_H$  не зависит от мощности исходного пучка, то с ростом последней растет лишь число нитей, а не их интенсивность.

Приближенное рассмотрение образования нитей на основе линеаризованных уравнений (2) подтверждается и результатами численного решения нелинейного уравнения (1). На рис. 1 показано изменение амплитуды поля в плоскости  $x=0$  для начального возмущения вида  $e = 2\cos x_1 x$  при  $\xi_0 = 20$  и разных значениях  $x_1^5$ . Изменение амплитуды той же волны в точке  $r=0$  при непериодических возмущениях гауссового профиля  $e = 2\exp(r^2/\beta^2)$  показано на рис. 2. В обоих случаях наблюдается описанная выше зависимость скорости нарастания амплитуды от ширины области начального возмущения.

3. Не останавливаясь на деталях, приведем основные результаты, относящиеся к возникновению нитевидной структуры в поле эллиптически поляризованной волны. Жидкость под воздействием такой волны приобретает анизотропные свойства, описываемые нелинейной поляризацией [9].

$$\mathcal{P}_i^{NL} = AE_i (\vec{E} \vec{E}^*) + \frac{B}{2} E_i^* (\vec{E} \vec{E}). \quad (6)$$

Здесь  $A$  и  $B$  - некоторые константы. В частности, если нелинейные свойства обусловлены ориентацией анизотропно поляризуемых молекул (высокочастотный эффект Керра), то  $A = B/6 = \epsilon\epsilon'/16\kappa$ , где  $\epsilon'$  - коэффициент нелинейности для линейно поляризованной волны. Для стрикционной нелинейности  $B = 0$ .

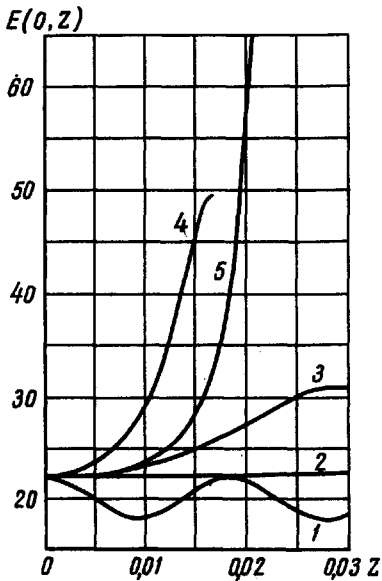


Рис. 1. Изменение амплитуды поля  $\mathcal{E}(0, z)$  в плоскости  $x = 0$  при  $\mathcal{E}(x, 0) = 20 + 2\cos \alpha_1 x$ .  $\alpha_1^2 = 3\alpha_H^2$  (1);  $2\alpha_1^2 = \alpha_H^2$  (2);  $\alpha_1^2(1 + \sqrt{3}/2)$  (3);  $\alpha_H^2$  (4);  $\alpha_1^2(1 - \sqrt{3}/2)$  (5)

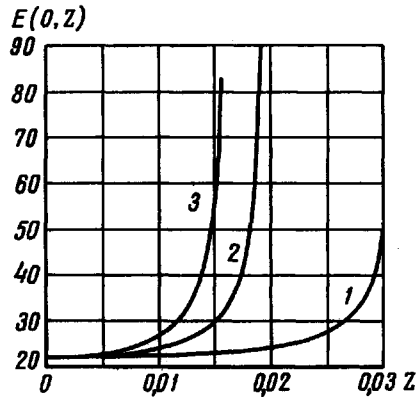


Рис. 2. Изменение амплитуды поля  $\mathcal{E}(0, z)$  на оси пучка  $r = 0$  при  $\mathcal{E}(r, 0) = 20 + 2\exp(-r^2/b^2)$ .  $b = 0,5$  (1);  $0,25$  (2);  $0,15$  (3)

Рассмотрение развития возмущений амплитуд право- и левополяризованных волн, на которые удобно в рассматриваемом случае разложить полное поле, приводит по-прежнему к характеристическому уравнению (3), в котором  $\alpha_{zp}^2$  теперь может принимать два значения. В частности, в случае Керр-эффекта  $\alpha_{zp 1,2}^2 = \bar{\alpha}_{zp}^2 F_{1,2}(\beta)$ , где  $F_{1,2}(\beta) = \left\{ 1 \pm \left[ 1 + 48(1-\beta^2)(1+\beta^2)^{-1/2} \right]^{1/2} \right\}$  - множитель, зависящий от коэффициента эллиптичности  $\beta$  (отношения осей эллипса) невозмущенной волны. Поскольку  $F_1 > 0$ , а  $F_2 < 0$ , то только одна пара корней ( $\pm h_1$ ) уравнения (3) отвечает неустойчивым возмущениям при  $0 < \alpha_1^2 < \alpha_{zp1}^2$ . При увеличении коэффициента эллиптичности от 0 (линейная поляризация) до

I (круговая поляризация) граничное значение  $\mathcal{E}_{2p1}$  меняется от  $\bar{\mathcal{E}}_{2p}$  до  $\bar{\mathcal{E}}_{2p}/2$ . Следовательно, волны с круговой поляризацией пространственно более устойчивы; это связано с уменьшением эффективного параметра нелинейности до  $\varepsilon'/4$ , что уже отмечалось в работе Зельдовича и Райзера [10]. Заметим, что из-за неоднородности поля величина поворота эллипса поляризации [9] будет функцией поперечных координат. Это обстоятельство наряду с деформацией исходного эллипса, вызванной самофокусировкой, может быть причиной деполаризации излучения, прошедшего через нелинейную среду [8].

4. Плоская волна в нелинейной среде неустойчива не только относительно малых возмущений поля, но и относительно малых случайных возмущений среды. Рассеянное на неоднородностях поле можно в некотором сечении  $z > 0$  принять за начальное возмущение и проводить рассмотрение способом, изложенным выше. Более последовательное решение задачи сводится к исследованию системы (2) (или соответствующей системы для эллиптически поляризованного света) с правой частью, характеризующей рассеяние невозмущенной волны на неоднородностях. Анализ функции корреляции описываемого этими уравнениями поля показывает, что при  $z \sim \Lambda_1$  область корреляции возмущений порядка  $\Lambda_1$ , а интенсивность рассеянного поля максимальна в том случае, когда размеры неоднородности  $\sim \Lambda_1$ .

Неустойчивость плоской волны в нелинейной среде с  $\varepsilon' > 0$  относительно возмущений поля или среды может сказаться и непосредственно на структуре поля, излучаемого лазером, особенно в тех случаях, когда наряду с нелинейностью активного вещества на поле действуют нелинейности других материалов, помещенных для тех или иных целей внутрь резонатора ОКГ (например, при использовании насыщающихся затворов).

Авторы признательны А.В.Гапонову и М.А.Миллеру за обсуждение результатов и В.Н.Гольдбергу и Р.Э.Эрм за проведение вычислений на электронной счетной машине.

## Литература

- [1] Г.А.Аскарьян. ЖЭТФ, 42, 1567, 1962.
- [2] В.И.Таланов. Изв. ВУЗов, Радиофизика, 7, 564, 1964.
- [3] R.Y. Chiao, E.Garmire, C.H.Townes. Phys.Rev. Lett., 13, 479, 1964.
- [4] Н.Ф.Пилипецкий, А.Р.Рустамов. Письма ЖЭТФ, 2, 88, 1965.
- [5] В.И.Таланов. Письма ЖЭТФ, 2, 222, 1965.
- [6] P.L.Kelley. Phys.Rev. Lett., 15, 1005, 1965.
- [7] В.И.Таланов. Изв. ВУЗов, Радиофизика, 9, 410, 1966.
- [8] P.Lallemand, N.Bloembergen. Phys.Rev. Lett., 15, 1013, 1965.
- [9] P.D.Maker, R.W.Terhune, C.M.Savage. Phys.Rev.Lett., 12, 507, 1964.
- [10] Я.Б.Зельдович, Ю.П.Райзер. Письма ЖЭТФ, 3, 137, 1965.

- 1) Предположения о роли автолокализации в процессах вынужденного рассеяния света высказывались ранее [3].
- 2) Длину самофокусировки  $L_{\text{ф}}$  аксиально симметричного пучка с гауссовым распределением амплитуды приближенно можно оценить по формуле  $L_{\text{ф}} = ka^2 (W_{\text{п}} W_{\text{кр}}^{-2} - 1)^{-1/2}$ , где  $a$  - радиус пучка,  $W_{\text{п}}$  - мощность пучка,  $W_{\text{кр}}$  - минимальная мощность пучка, необходимая для автолокализации. Этот результат следует из уравнения (8) работы Таланова [5].
- 3) Неустойчивость плоской волны в нелинейном диэлектрике была отмечена Р.В.Хохловым на I Всесоюзном симпозиуме по нелинейной оптике (Минск, июнь 1965 г.)
- 4) Произвольные возмущения можно представить как суперпозицию таких полей.
- 5) Инвариантность уравнения (1) относительно замены  $\varepsilon \rightarrow \alpha \varepsilon$ ,  $\vec{r}_1 \rightarrow \alpha \vec{r}_1$ ,  $z \rightarrow \alpha^2 z$  позволяет всегда перейти от приведенных численных значений к физически осуществимым величинам  $\varepsilon_0$ ,  $\varepsilon \ll 1$  [7].